



Eq. Difusão

Bruno S.
Carmo

Equação de
Difusão

Discretização
da Eq. de
Helmholtz

Exemplos
numéricos

Discretização
temporal

Espectro do
operador
Laplaciano
fraco

Equação de Difusão

PME5425 – Métodos de Elementos Finitos de Alta Ordem
com Aplicações em Mecânica dos Fluidos e Transferência
de Calor

Prof. Bruno S. Carmo

Programa de Pós-Graduação em Engenharia Mecânica
Escola Politécnica da Universidade de São Paulo

2017



Sumário

Eq. Difusão

Bruno S.
Carmo

Equação de
Difusão

Discretização
da Eq. de
Helmholtz

Exemplos
numéricos

Discretização
temporal

Espectro do
operador
Laplaciano
fraco

- 1 Equação de Difusão
- 2 Discretização da Eq. de Helmholtz
- 3 Exemplos numéricos
- 4 Discretização temporal
- 5 Espectro do operador Laplaciano fraco



A equação de difusão (1/2)

Eq. Difusão

Bruno S.
Carmo

Equação de
Difusão

Discretização
da Eq. de
Helmholtz

Exemplos
numéricos

Discretização
temporal

Espectro do
operador
Laplaciano
fraco

Procuramos a solução numérica da equação parabólica:

$$\frac{\partial u}{\partial t} = \alpha \nabla^2 u$$

onde α é a difusividade.

Discretizando esta equação no espaço, chegamos a uma versão semi-discreta (discreta no espaço e contínua no tempo):

$$\mathbf{M} \frac{d\hat{u}_g}{dt} = \alpha \mathbf{L} \hat{u}_g$$



A equação de difusão (2/2)

Eq. Difusão

Bruno S.
Carmo

Equação de
Difusão

Discretização
da Eq. de
Helmholtz

Exemplos
numéricos

Discretização
temporal

Espectro do
operador
Laplaciano
fraco

A discretização temporal pode ser implícita ou explícita. A formulação explícita impõe uma restrição no passo de tempo, que escala com o inverso do módulo do maior autovalor de $\mathbf{M}^{-1}\mathbf{L}$. Este autovalor cresce numa taxa $\mathcal{O}(P^4)$ para métodos de alta ordem. Portanto é mais interessante usar um método implícito.

Exemplo de discretização implícita – Euler para trás:

$$\frac{u^{n+1} - u^n}{\Delta t} = \alpha \nabla^2 u^{n+1}$$

Rearranjando: $\nabla^2 u(x) - \lambda u(x) = f(x) \Rightarrow$ Eq. de Helmholtz



Discretização da equação de Helmholtz (1/2)

Eq. Difusão

Bruno S.
Carmo

Equação de
Difusão

Discretização
da Eq. de
Helmholtz

Exemplos
numéricos

Discretização
temporal

Espectro do
operador
Laplaciano
fraco

$$\nabla^2 u(x) - \lambda u(x) = f(x)$$

onde $\lambda = 1/\alpha \Delta t$ é uma constante positiva e
 $f(x) = -u^n(x)/\alpha \Delta t$.

Aplicando o método de Galerkin:

$$(v, \nabla^2 u)_\Omega - \lambda (v, u)_\Omega = (v, f)_\Omega$$

Utilizando o teorema da divergência para chegar à formulação fraca:

$$(\nabla v, \nabla u)_\Omega + \lambda (v, u)_\Omega = \langle v, \nabla u \cdot \mathbf{n} \rangle - (v, f)_\Omega$$

onde

$$\langle v, \nabla u \cdot \mathbf{n} \rangle = \int_{\partial\Omega} v \nabla u \cdot \mathbf{n} dx$$



Discretização da equação de Helmholtz (2/2)

Eq. Difusão

Bruno S.
Carmo

Equação de
Difusão

Discretização
da Eq. de
Helmholtz

Exemplos
numéricos

Discretização
temporal

Espectro do
operador
Laplaciano
fraco

Dividindo a solução em uma parcela que satisfaz as condições de contorno nas fronteiras de Dirichlet e a outra que é homogênea nessas fronteiras:

$$u(x) = u^{\mathcal{H}}(x) + u^{\mathcal{D}}(x)$$

onde $u^{\mathcal{H}}(\partial\Omega_{\mathcal{D}}) = 0$ e $u^{\mathcal{D}}(\partial\Omega_{\mathcal{D}}) = u(\partial\Omega_{\mathcal{D}}) = g_{\mathcal{D}}(\partial\Omega_{\mathcal{D}})$

Substituindo na equação de Helmholtz:

$$\begin{aligned}(\nabla v, \nabla u^{\mathcal{H}})_{\Omega} + \lambda(v, u^{\mathcal{H}})_{\Omega} &= \langle v, g_{\mathcal{N}} \rangle - (v, f)_{\Omega} + \\ &\quad - (\nabla v, \nabla u^{\mathcal{D}})_{\Omega} - \lambda(v, u^{\mathcal{D}})_{\Omega}\end{aligned}$$



Representação matricial

Eq. Difusão

Bruno S.
Carmo

Equação de
Difusão

Discretização
da Eq. de
Helmholtz

Exemplos
numéricos

Discretização
temporal

Espectro do
operador
Laplaciano
fraco

Contribuições elementares

$$\mathbf{L}^e \hat{\mathbf{u}}^e + \lambda \mathbf{M}^e \hat{\mathbf{u}}^e = -(\mathbf{B}^e)^\top \mathbf{W}^e \mathbf{f}^e$$

Lembrando que

$$\mathbf{M}^e = (\mathbf{B}^e)^\top \mathbf{W}^e \mathbf{B}^e$$

$$\begin{aligned} \mathbf{L}^e &= (\mathbf{D}_{x_1}^e \mathbf{B}^e)^\top \mathbf{W}^e \mathbf{D}_{x_1}^e \mathbf{B}^e + (\mathbf{D}_{x_2}^e \mathbf{B}^e)^\top \mathbf{W}^e \mathbf{D}_{x_2}^e \mathbf{B}^e + \\ &+ (\mathbf{D}_{x_3}^e \mathbf{B}^e)^\top \mathbf{W}^e \mathbf{D}_{x_3}^e \mathbf{B}^e \end{aligned}$$

$$\mathbf{D}_{x_1}^e = \Lambda^e \left(\frac{\partial \xi_1}{\partial x_1} \right) \mathbf{D}_{\xi_1}^e + \Lambda^e \left(\frac{\partial \xi_2}{\partial x_1} \right) \mathbf{D}_{\xi_2}^e + \Lambda^e \left(\frac{\partial \xi_3}{\partial x_1} \right) \mathbf{D}_{\xi_3}^e$$

$$\mathbf{D}_{x_2}^e = \Lambda^e \left(\frac{\partial \xi_1}{\partial x_2} \right) \mathbf{D}_{\xi_1}^e + \Lambda^e \left(\frac{\partial \xi_2}{\partial x_2} \right) \mathbf{D}_{\xi_2}^e + \Lambda^e \left(\frac{\partial \xi_3}{\partial x_2} \right) \mathbf{D}_{\xi_3}^e$$

$$\mathbf{D}_{x_3}^e = \Lambda^e \left(\frac{\partial \xi_1}{\partial x_3} \right) \mathbf{D}_{\xi_1}^e + \Lambda^e \left(\frac{\partial \xi_2}{\partial x_3} \right) \mathbf{D}_{\xi_2}^e + \Lambda^e \left(\frac{\partial \xi_3}{\partial x_3} \right) \mathbf{D}_{\xi_3}^e$$



Exemplos de matrizes elementares bidimensionais ($P = 14$)

Eq. Difusão

Bruno S.
Carmo

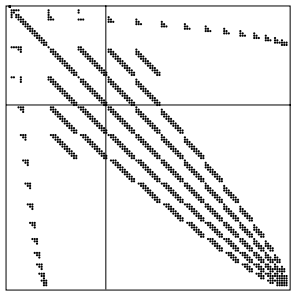
Equação de
Difusão

Discretização
da Eq. de
Helmholtz

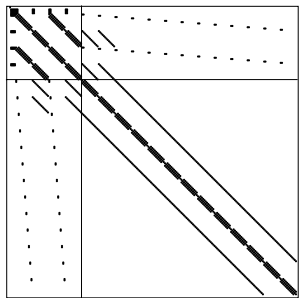
Exemplos
numéricos

Discretização
temporal

Espectro do
operador
Laplaciano
fraco



Triângulo – base modal



Quadrilátero – base modal

Obs: Expansões nodais geram matrizes laplacianas cheias.



Exemplos de matrizes elementares de Laplace para tetraedros

Eq. Difusão

Bruno S. Carmo

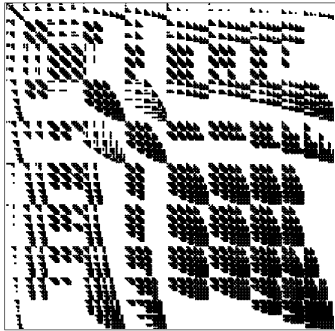
Equação de Difusão

Discretização da Eq. de Helmholtz

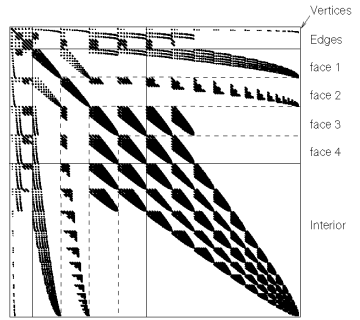
Exemplos numéricos

Discretização temporal

Espectro do operador Laplaciano fraco



$P = 9$



$P = 19$



Montagem do sistema global

Eq. Difusão

Bruno S.
Carmo

Equação de
Difusão

Discretização
da Eq. de
Helmholtz

Exemplos
numéricos

Discretização
temporal

Espectro do
operador
Laplaciano
fraco

Considerando todos os elementos, e sabendo que $\hat{\mathbf{u}}_I = \underline{\hat{\mathbf{u}}}^e$ e $\mathbf{f}_I = \underline{\mathbf{f}}^e$,

$$[\underline{\mathbf{L}}^e + \lambda \underline{\mathbf{M}}^e] \hat{\mathbf{u}}_I = -(\underline{\mathbf{B}}^e)^\top \underline{\mathbf{W}}^e \mathbf{f}_I$$

Para impor continuidade C^0 da solução entre os elementos, pré-multiplicamos por \mathcal{A}^\top . Usando a notação $\hat{\mathbf{u}}_I = \mathcal{A} \hat{\mathbf{u}}_g$, e representando por Γ os termos de integral de superfície não nulos,

$$\mathcal{A}^\top [\underline{\mathbf{L}}^e + \lambda \underline{\mathbf{M}}^e] \mathcal{A} \hat{\mathbf{u}}_g = -\Gamma - \mathcal{A}^\top (\underline{\mathbf{B}}^e)^\top \underline{\mathbf{W}}^e \mathbf{f}_I$$

Portanto, para resolver este sistema, é preciso inverter a matriz de Helmholtz na forma fraca,

$$\mathbf{H} = \mathbf{L} + \lambda \mathbf{M} = \mathcal{A}^\top [\underline{\mathbf{L}}^e + \lambda \underline{\mathbf{M}}^e] \mathcal{A},$$

sujeita às condições de contorno apropriadas.

Cálculo dos termos de integral de superfície não nulos

Eq. Difusão

Bruno S.
Carmo

Equação de
Difusão

Discretização
da Eq. de
Helmholtz

Exemplos
numéricos

Discretização
temporal

Espectro do
operador
Laplaciano
fraco

Esses termos aparecem quando temos condições de contorno naturais não nulas. Eles são da forma

$$\Gamma^e[n(pqr)] = \int_{\partial\Omega^e \cap \partial\Omega_{\mathcal{N}}} \phi_{pqr}^e \nabla u \cdot \mathbf{n} \, d\mathbf{x}, \quad \Rightarrow \quad \Gamma = \mathcal{A}^\top \Gamma^e$$

onde $n(pqr)$ representa o mapeamento dos índices p , q e r no sistema de numeração global e $\partial\Omega_{\mathcal{N}}$ as fronteiras onde condições do tipo Neumann são especificadas.

A maioria dos elementos não contribui para esta integral. Para aqueles que contribuem, a integral pode ser calculada discretamente projetando a função $g_{\mathcal{N}}$ nos pontos de quadratura e usando o jacobiano de superfície.



Malhas utilizadas nos exemplos numéricos

Eq. Difusão

Bruno S.
Carmo

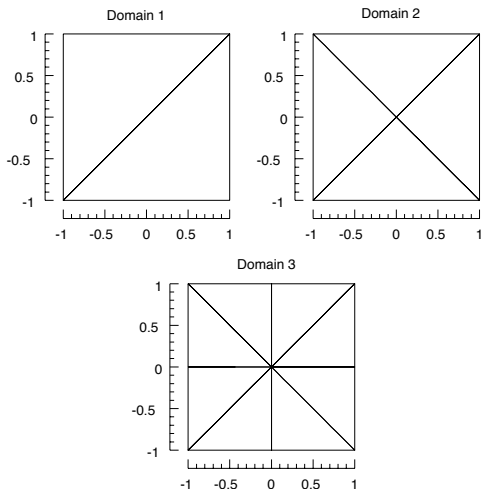
Equação de
Difusão

Discretização
da Eq. de
Helmholtz

Exemplos
numéricos

Discretização
temporal

Espectro do
operador
Laplaciano
fraco





Malhas utilizadas nos exemplos numéricos

Eq. Difusão

Bruno S.
Carmo

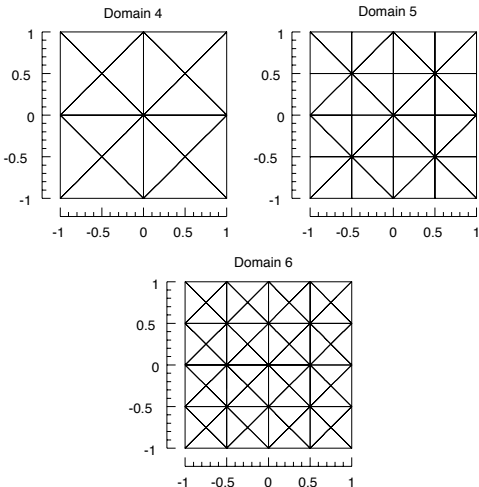
Equação de
Difusão

Discretização
da Eq. de
Helmholtz

Exemplos
numéricos

Discretização
temporal

Espectro do
operador
Laplaciano
fraco



Resultados

Eq. Difusão

Bruno S.
Carmo

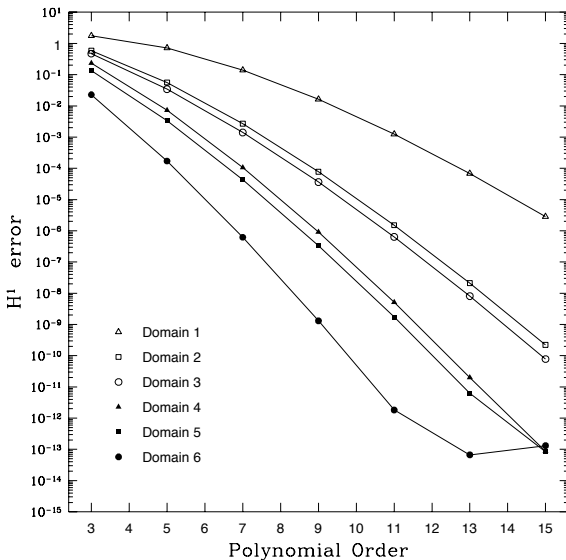
Equação de
Difusão

Discretização
da Eq. de
Helmholtz

Exemplos
numéricos

Discretização
temporal

Espectro do
operador
Laplaciano
fraco





Malha e resultado – exemplo 2

Eq. Difusão

Bruno S.
Carmo

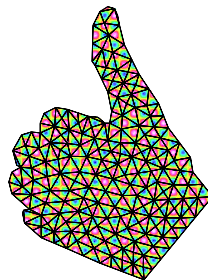
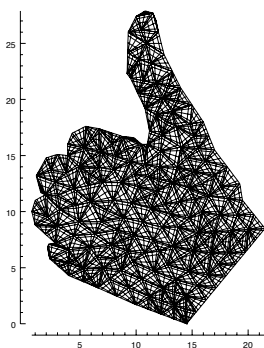
Equação de
Difusão

Discretização
da Eq. de
Helmholtz

Exemplos
numéricos

Discretização
temporal

Espectro do
operador
Laplaciano
fraco





Exemplo 2 – convergência

Eq. Difusão

Bruno S.
Carmo

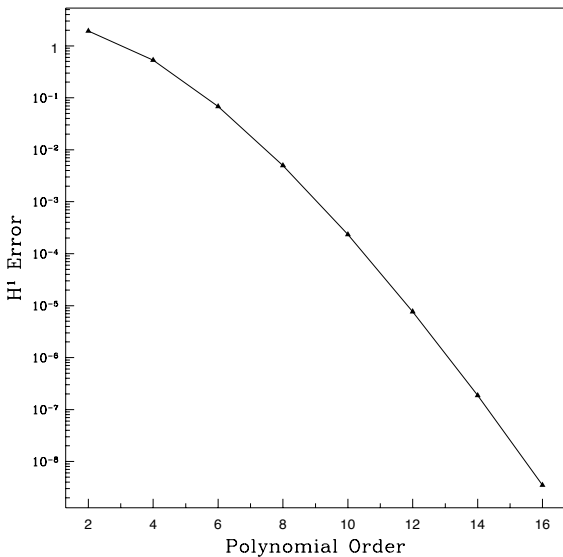
Equação de
Difusão

Discretização
da Eq. de
Helmholtz

Exemplos
numéricos

Discretização
temporal

Espectro do
operador
Laplaciano
fraco





Exemplo 3d - malha e resultado

Eq. Difusão

Bruno S.
Carmo

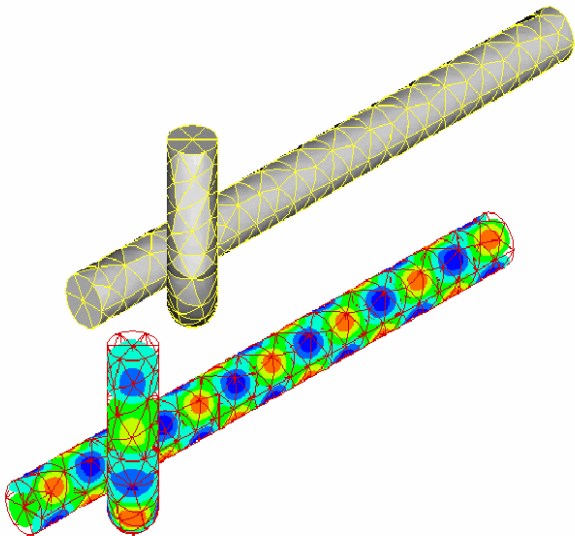
Equação de
Difusão

Discretização
da Eq. de
Helmholtz

Exemplos
numéricos

Discretização
temporal

Espectro do
operador
Laplaciano
fraco





Exemplo 3d - convergência

Eq. Difusão

Bruno S.
Carmo

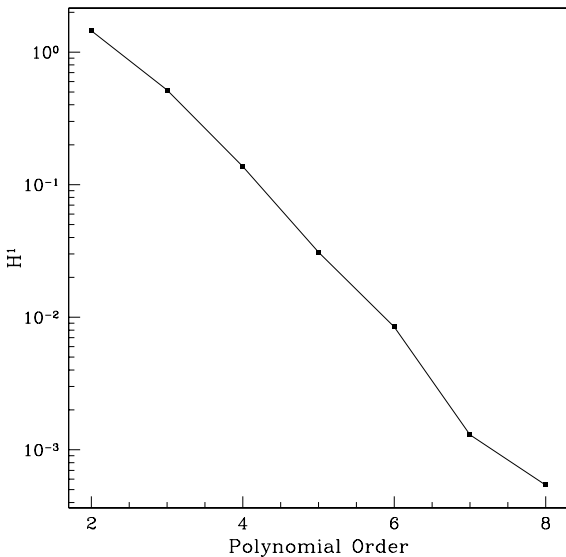
Equação de
Difusão

Discretização
da Eq. de
Helmholtz

Exemplos
numéricos

Discretização
temporal

Espectro do
operador
Laplaciano
fraco





Discretização temporal

Eq. Difusão

Bruno S.
Carmo

Equação de
Difusão

Discretização
da Eq. de
Helmholtz

Exemplos
numéricos

Discretização
temporal

Espectro do
operador
Laplaciano
fraco

Sistema de equações diferenciais ordinárias semidiscretas:

$$\mathbf{M} \frac{d\hat{\mathbf{u}}_g}{dt} = \alpha \mathbf{L} \hat{\mathbf{u}}_g \quad \Rightarrow \quad \frac{d\hat{\mathbf{u}}_g}{dt} = \alpha \mathbf{M}^{-1} \mathbf{L} \hat{\mathbf{u}}_g$$

Este sistema pode ser integrado no tempo utilizando dois tipos de métodos:

- Métodos de múltiplos estágios: esquemas de Runge-Kutta
- Métodos de múltiplos passos:
 - Métodos com integração para frente
 - métodos com diferenciação para trás



Métodos de múltiplos estágios: Runge-Kutta

Eq. Difusão

Bruno S.
Carmo

Equação de
Difusão

Discretização
da Eq. de
Helmholtz

Exemplos
numéricos

Discretização
temporal

Espectro do
operador
Laplaciano
fraco

São métodos onde passos intermediários são dados para obter uma aproximação de maior ordem. Toda a informação gerada num passo é descartada ao se avançar ao próximo passo.

Exemplo – método de Runge-Kutta de 4^a ordem (RK4): Sendo $\frac{du}{dt} = \mathbf{F}(\mathbf{u}, t)$, a integração numérica usando RK4 num passo de tempo Δt , de \mathbf{u}^n para \mathbf{u}^{n+1} é:

$$\mathbf{k}_1 = \Delta t \mathbf{F}(\mathbf{u}^n, t^n)$$

$$\mathbf{k}_2 = \Delta t \mathbf{F}\left(\mathbf{u}^n + \frac{\mathbf{k}_1}{2}, t^n + \frac{\Delta t}{2}\right)$$

$$\mathbf{k}_3 = \Delta t \mathbf{F}\left(\mathbf{u}^n + \frac{\mathbf{k}_2}{2}, t^n + \frac{\Delta t}{2}\right)$$

$$\mathbf{k}_4 = \Delta t \mathbf{F}(\mathbf{u}^n + \mathbf{k}_3, t^n + \Delta t)$$

$$\mathbf{u}^{n+1} = \mathbf{u}^n + \frac{\mathbf{k}_1}{6} + \frac{\mathbf{k}_2}{3} + \frac{\mathbf{k}_3}{3} + \frac{\mathbf{k}_4}{6} + \mathcal{O}(\Delta t^5)$$

Métodos de múltiplos estágios vs. métodos de múltiplos passos



Eq. Difusão

Bruno S.
Carmo

Equação de
Difusão

Discretização
da Eq. de
Helmholtz

Exemplos
numéricos

Discretização
temporal

Espectro do
operador
Laplaciano
fraco

- Em métodos de múltiplos estágios, é necessário avaliar o lado direito da equação semidiscreta várias vezes num mesmo passo de tempo. Para métodos de alta ordem, esta é uma operação relativamente cara.
- Métodos de múltiplos passos usam informações dos passos de tempo anteriores e não avançam em passos intermediários.
- Podem ser mais eficientes do que métodos de múltiplos estágios porque guardam e reusam informações de passos de tempo anteriores.
- Métodos de múltiplos passos devem atender ao critério de estabilidade de Dahlquist.



Critério de estabilidade de Dahlquist

Eq. Difusão

Bruno S.
Carmo

Equação de
Difusão

Discretização
da Eq. de
Helmholtz

Exemplos
numéricos

Discretização
temporal

Espectro do
operador
Laplaciano
fraco

Teoremas de estabilidade de Dahlquist, que governam os esquemas multi-passos:

- 1** Para um esquema implícito estável de s passos, a ordem J da aproximação é menor do que $s + 3$ para s par e menor que $s + 2$ para s ímpar. Para um esquema explícito estável a ordem J da aproximação é menor do que $s + 1$.
- 2** Não há métodos multi-passos explícitos que sejam incondicionalmente estáveis, e não há métodos multi-passos implícitos de ordem maior do que 2 que sejam incondicionalmente estáveis.



Estabilidade de métodos multi-passos

Eq. Difusão

Bruno S.
Carmo

Equação de
Difusão

Discretização
da Eq. de
Helmholtz

Exemplos
numéricos

Discretização
temporal

Espectro do
operador
Laplaciano
fraco

Considere o problema escalar onde $\frac{du}{dt} = \lambda u$ ($\lambda \leq 0$).
Considerando por exemplo o esquema de Euler para frente,
então podemos escrever

$$\frac{u^{n+1} - u^n}{\Delta t} = \lambda u^n \quad \Rightarrow \quad u^{n+1} = (1 + \Delta t \lambda) u^n.$$

Neste exemplo, o esquema será estável se $|1 + \Delta t \lambda| \leq 1$, o que no plano complexo corresponde ao círculo de raio unitário centrado em $\lambda \Delta t = -1$. Esta análise pode ser estendida para esquemas de alta ordem ($J > 1$) repetindo-a em termos dos autovalores da matriz que opera sobre um vetor da forma $\mathbf{v}^{n+1} = [u^{n+1}, u^n, \dots, u^{n-J}]^T$.



Métodos com integração para frente I

Eq. Difusão

Bruno S.
Carmo

Equação de
Difusão

Discretização
da Eq. de
Helmholtz

Exemplos
numéricos

Discretização
temporal

Espectro do
operador
Laplaciano
fraco

Os métodos com integração para frente são os métodos da família Adams. Os métodos explícitos são conhecidos como métodos de *Adams-Bashfort* e os implícitos como métodos de *Adams-Moulton*.

Os métodos com integração para frente baseiam-se na integração no tempo da equação semidiscreta:

$$\frac{d\mathbf{u}}{dt} = \mathbf{F}(\mathbf{u}, t) \quad \Rightarrow \quad \int_{t^n}^{t^{n+1}} \frac{d\mathbf{u}}{dt} dt = \mathbf{u}^{n+1} - \mathbf{u}^n = \int_{t^n}^{t^{n+1}} \mathbf{F}(\mathbf{u}, t) dt$$

Para calcular a integral no lado direito, aproximamos $\mathbf{F}(\mathbf{u}, t)$ por uma interpolação polinomial e calculamos a integral deste polinômio.



Métodos com integração para frente II

Eq. Difusão

Bruno S.
Carmo

Equação de
Difusão

Discretização
da Eq. de
Helmholtz

Exemplos
numéricos

Discretização
temporal

Espectro do
operador
Laplaciano
fraco

O valor de $\mathbf{F}(\mathbf{u}, t)$ calculado nos passos de tempo anteriores são os pontos usados para a interpolação polinomial no método explícito.

Para o método implícito, incluímos também o valor de $\mathbf{F}(\mathbf{u}, t)$ calculado no passo de tempo t^{n+1} , que formará, junto com o termo \mathbf{u}^{n+1} do lado esquerdo da equação semidiscreta, a matriz de coeficientes do sistema linear.



Coefficientes dos métodos da família Adams

Eq. Difusão

Bruno S.
Carmo

Equação de
Difusão

Discretização
da Eq. de
Helmholtz

Exemplos
numéricos

Discretização
temporal

Espectro do
operador
Laplaciano
fraco

$$\mathbf{u}^{n+1} - \mathbf{u}^n = \left(\sum_{q=0}^{J-1} \beta_q \mathbf{F}^{n+1-q} \right) \Delta t$$

Coefficiente	1ª ordem	2ª ordem	3ª ordem
	Adams-Bashforth		
β_0	0	0	0
β_1	1	3/2	23/12
β_2	0	-1/2	-16/12
β_3	0	0	5/12
	Adams-Moulton		
β_0	1	1/2	5/12
β_1	0	1/2	8/12
β_2	0	0	-1/12
β_3	0	0	0



Regiões de estabilidade dos métodos com integração para frente

Eq. Difusão

Bruno S.
Carmo

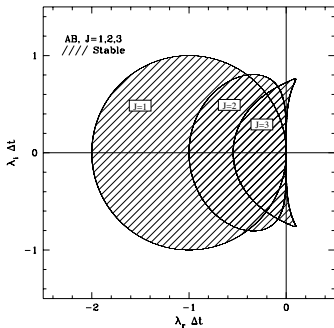
Equação de
Difusão

Discretização
da Eq. de
Helmholtz

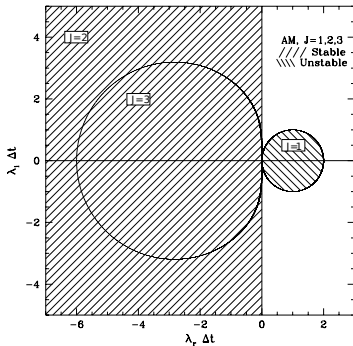
Exemplos
numéricos

Discretização
temporal

Espectro do
operador
Laplaciano
fraco



Adams-Bashfort



Adams-Moulton

Matrizes simétricas, como é o caso de \mathbf{M} , \mathbf{L} e $\mathbf{M}^{-1}\mathbf{L}$ geradas por formulação de Galerkin, têm todos os autovalores reais puros.



Métodos com diferenciação para trás I

Eq. Difusão

Bruno S.
Carmo

Equação de
Difusão

Discretização
da Eq. de
Helmholtz

Exemplos
numéricos

Discretização
temporal

Espectro do
operador
Laplaciano
fraco

Relembrando a eq. diferencial: $\frac{d\mathbf{u}}{dt} = \mathbf{F}(\mathbf{u}, t)$

Nestes métodos, a função \mathbf{u} é aproximada por uma interpolação polinomial feita a partir dos valores da função em passos de tempo anteriores e no passo de tempo futuro. A derivada $\frac{d\mathbf{u}}{dt}^{n+1}$ é então aproximada pela derivada deste polinômio no instante de tempo t^{n+1} .

O resultado é uma expressão do tipo:

$$\frac{\gamma_0 \mathbf{u}^{n+1} - \sum_{q=0}^{J-1} \alpha_q \mathbf{u}^{n-q}}{\Delta t} = \mathbf{F}^{n+1},$$

que é um esquema implícito.



Métodos com diferenciação para trás II

Eq. Difusão

Bruno S.
Carmo

Equação de
Difusão

Discretização
da Eq. de
Helmholtz

Exemplos
numéricos

Discretização
temporal

Espectro do
operador
Laplaciano
fraco

Um esquema explícito pode ser construído aproximando o termo \mathbf{F}^{n+1} por uma extrapolação polinomial do valor deste termo em passos de tempo anteriores.

$$\mathbf{F}^{n+1} \approx \sum_{q=0}^{J-1} \beta_q \mathbf{F}^{n-q}$$

Os coeficientes do método são:

Coeficiente	1ª ordem	2ª ordem	3ª ordem
γ_0	1	3/2	11/6
α_0	1	2	3
α_1	0	-1/2	-3/2
α_2	0	0	1/3
β_0	1	2	3
β_1	0	-1	-3
β_2	0	0	1



Regiões de estabilidade dos métodos com diferenciação para trás

Eq. Difusão

Bruno S.
Carmo

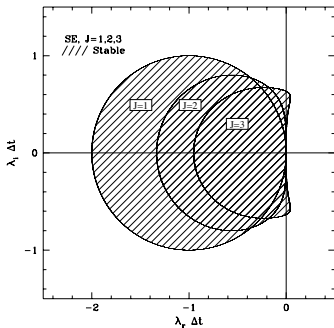
Equação de
Difusão

Discretização
da Eq. de
Helmholtz

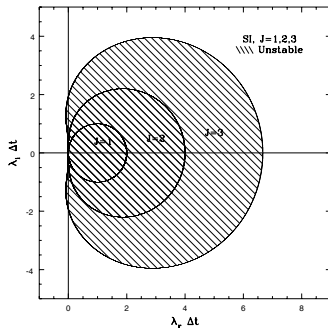
Exemplos
numéricos

Discretização
temporal

Espectro do
operador
Laplaciano
fraco



Explícito



Implícito



Espectro do operador Laplaciano fraco

Eq. Difusão

Bruno S.
Carmo

Equação de
Difusão

Discretização
da Eq. de
Helmholtz

Exemplos
numéricos

Discretização
temporal

Espectro do
operador
Laplaciano
fraco

$$\frac{d\hat{\mathbf{u}}_g}{dt} = \mathbf{M}^{-1}\mathbf{L}\hat{\mathbf{u}}_g = \mathbf{Q}^{-1}\mathbf{\Lambda}\mathbf{Q}$$

Pré-multiplicando por \mathbf{Q} e fazendo $\hat{\mathbf{v}}_g = \mathbf{Q}\hat{\mathbf{u}}_g$:

$$\frac{d\hat{\mathbf{v}}_g}{dt} = \mathbf{\Lambda}\hat{\mathbf{v}}_g$$

que é um sistema desacoplado de EDOs.

Portanto a estabilidade do método de integração no tempo vai depender o maior autovalor do operador, λ_{\max} .

Os exemplos a seguir mostram que o maior autovalor escala com $\mathcal{O}(P^4)$.



Autovalor máximo vs. ordem do polinômio – 2d

Eq. Difusão

Bruno S.
Carmo

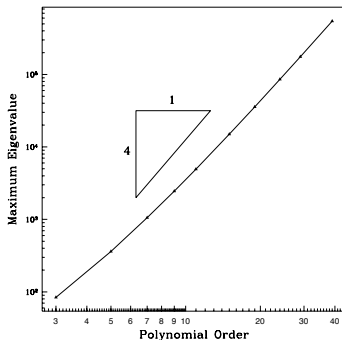
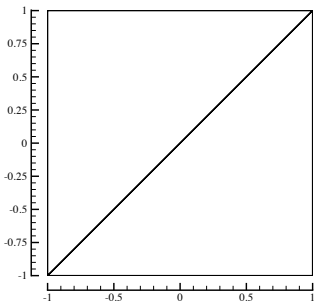
Equação de
Difusão

Discretização
da Eq. de
Helmholtz

Exemplos
numéricos

Discretização
temporal

Espectro do
operador
Laplaciano
fraco





Autovalor máximo vs. ordem do polinômio – 3d

Eq. Difusão

Bruno S.
Carmo

Equação de
Difusão

Discretização
da Eq. de
Helmholtz

Exemplos
numéricos

Discretização
temporal

Espectro do
operador
Laplaciano
fraco

